

# ФУНКЦИЯ РАСПРЕДЕЛЕНИЯ ЭЛЕКТРОНОВ ИОННО-ПУЧКОВОЙ ПЛАЗМЫ В НЕОДНОРОДНЫХ $EH$ ПОЛЯХ

© С.В.Дудин, А.В.Зыков, А.В.Ушаков, В.И.Фареник

Детальные экспериментальные и теоретические исследования ионно-пучковой плазмы (ИПП), возникающей при транспортировке интенсивных низкоэнергетических ионных пучков, проводились в системах с эквипотенциальными границами в отсутствие внешних электрических  $E$  и магнитных  $H$  полей [1–4]. Предметом исследований настоящей работы является ИПП с замагничеными электронами (в дальнейшем замагниченная ИПП), возникающая в канале ускорителя с азимутальным дрейфом электронов в условиях сильно неоднородных скрещенных  $EH$  полей. Актуальность таких исследований обусловлена тем, что при низких давлениях в аксиально-неоднородных системах замагниченная квазицентровая ИПП является промежуточной областью между электронным анодным слоем, в котором существует сильное электрическое поле, и ИПП в пространстве транспортировки ионного пучка, где нет  $EH$  полей, т. е. связывает эти относительно автономные области разряда в единое целое.

Изучению некоторых особенностей замагниченной ИПП и структуры разряда в целом посвящена работа [5], в которой, в частности, исследовался поток электронов на проводящие стенки канала ускорителя. Уход электронов вдоль магнитного поля на катоды системы является типичным для газовых разрядов со скрещенными  $EH$  полями [6–8]. Для систем с однородным магнитным полем типа ячейки Пенningа и магнетрона (прямого и обращенного) исследовался колебательный режим разряда, в котором электронный ток на катоды имел периодический характер [9–11]. В системах с неоднородным магнитным полем наблюдался стационарный поток электронов на катоды системы в режиме без интенсивных колебаний плазмы и был предложен следующий механизм этого эффекта: в результате электрон-электронных столкновений происходит хаотизация набранной в электрическом поле энергии и появляется достаточное количество электронов в высокозадающем хвосте функции распределения электронов по энергиям, способных уйти вдоль магнитного поля на стенки ускорителя. Следует отметить,

что в дрейфовом приближении уход электронов на катоды невозможен, так как набираемой в электрическом поле энергии соответствует такое же приращение глубины потенциальной ямы.

Целью настоящей работы было проведение комплексных зондовых измерений локальных параметров плазмы в выходном канале ускорителя полного вида функции распределения электронов по энергиям  $f_e$ , температуры электронов  $T_e$  потенциала плазмы  $\varphi_{pl}$ , напряженности электрического поля  $E$  в широком диапазоне внешних условий (напряженности магнитного поля  $H$ , анодного напряжения  $U_a$  и давления  $p$ ). Эти данные помогли бы уточнить механизм формирования и область локализации электронного потока на катоды, а также предоставить дополнительную информацию о замагниченной ИПП.

В наших условиях (детальное описание экспериментальной установки приведено в работе [5]) особенности работы электрическими зондами связаны с относительно небольшими размерами системы, сильной неоднородностью плазмы, наличием сильного магнитного поля, а также больших градиентов  $E$  и  $H$ , интенсивным потоком высокоэнергетических ионов. Методика применения электрического зонда в перечисленных выше условиях и обработка его вольт-амперных характеристик описана в работах [12–15].

В проведенных исследованиях для нахождения  $\varphi_{pl}$  и  $f_e$  использовалась методика двукратного дифференцирования зондового тока  $I_p$  по потенциалу зонда  $U_p$  с применением модуляции потенциала зонда [15]. По углу наклона линейного участка на зависимости  $\lg I_p'' = F(U_p)$  определялась  $T_e$ , а за  $\varphi_{pl}$  принимался потенциал зонда в максимуме второй производной. Миниатюрный цилиндрический зонд диаметром 0.1 мм и длиной 1 мм монтировался на микроскопическом координатном устройстве, был сориентирован вдоль  $H$  и перемещался вдоль  $E$ .

На рис. 1, *a* представлены пространственные распределения второй производной зондового тока и нормированного магнитного поля, а на рис. 2, *a* — зависимости от расстояния до анода  $z$  температуры электронов и потенциала плазмы для типичного режима работы ускорителя с интенсивным стоком электронов на катоды устройства в отсутствие колебаний ( $H = 1.5 \text{ кЭ}$ ,  $U_a = 1.5 \text{ кВ}$ ,  $p \approx 1 \cdot 10^{-3} \text{ Тор}$ , плотность тока ионов пучка  $j_i \approx 1 \text{ мА/см}^2$ ). Анализируя приведенные графики и обобщая другие измерения, можно сделать следующие выводы о пространственной эволюции  $f_e$  и  $\varphi_{pl}$  в системе.

В незамагниченной ИПП  $f_e$  изотропна и однородна. Кроме основной группы электронов, энергетический

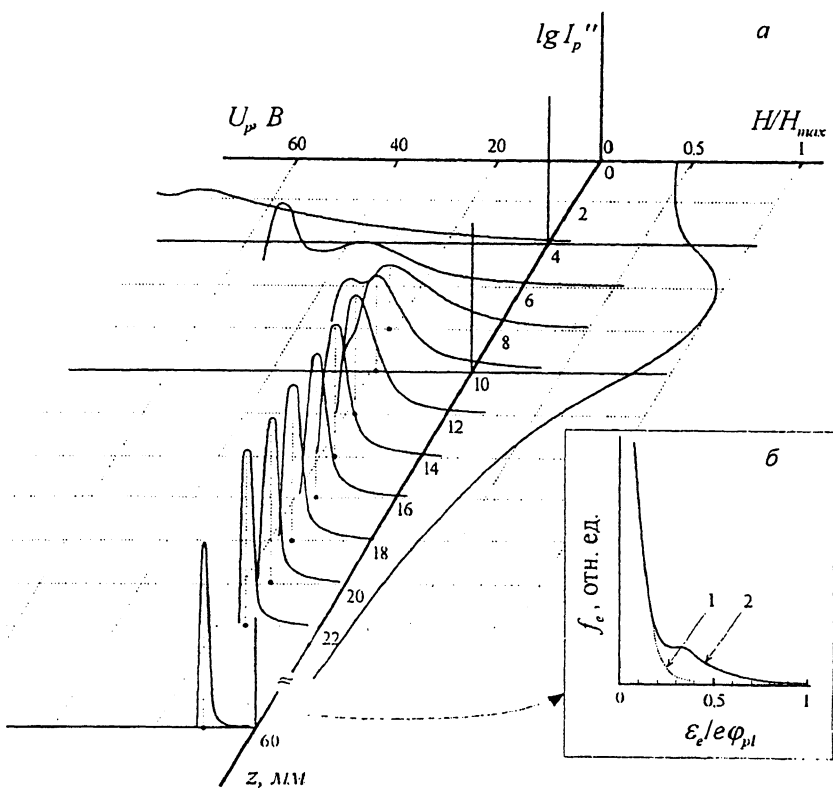


Рис. 1. а — динамика изменения в пространстве зависимости второй производной зондового тока от потенциала зонда и зависимость нормированного магнитного поля от расстояния до анода  $z$ :  $H = 1.5 \text{ кЭ}$ ,  $U_a = 1.5 \text{ кВ}$ ,  $p \approx 1 \cdot 10^{-3} \text{ Тор}$ ;  $z = 0$  — поверхность анода;  $4 \text{ мм} < z < 10 \text{ мм}$  — область катодной щели; б — функция распределения электронов ионно-пучковой плазмы в зависимости от энергии электронов  $\epsilon_e$ ; 1 — максвелловская ФРЭ, 2 — ФРЭ по экспериментальным данным.

спектр которых близок к максвелловскому с температурой  $T_e \sim 0.1\text{--}0.5 \text{ эВ}$ , ФРЭ содержит незначительное количество высокоэнергетичных “немаксвелловских” электронов (рис. 1, а, кривая для  $z = 60 \text{ мм}$  и рис. 1, б). Результаты более детального исследования этой области для данного типа устройства приведены в работе [2].

В области замагниченной ИПП, по мере приближения к аноду,  $\varphi_{pl}$  и  $T_e$  монотонно растут, причем приращение температуры электронов порядка пройденной разности потенциалов. По сравнению с незамагниченной ИПП  $T_e$  увеличивается более чем на порядок и достигает 5–25 эВ. С умень-

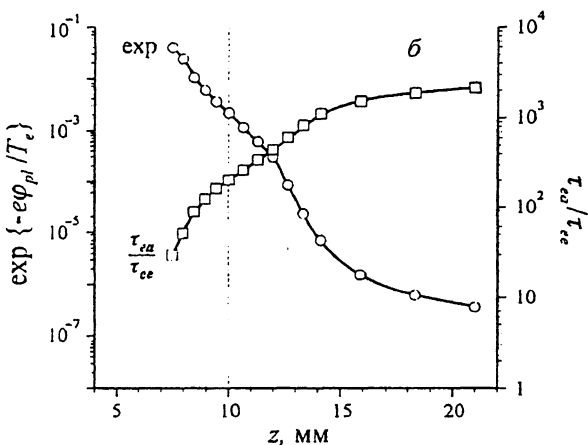
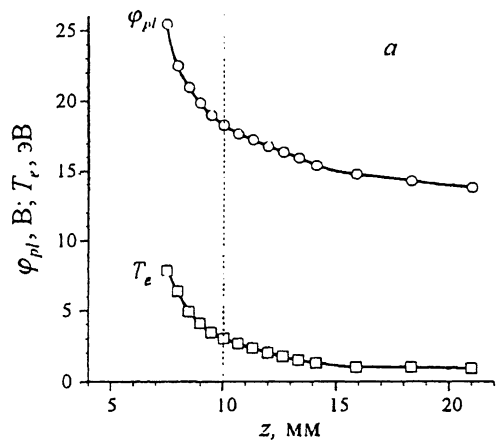


Рис. 2. Зависимости от расстояния до анода: *а* — потенциала плазмы и температуры электронов; *б* — больцмановского коэффициента и отношения времен релаксации энергии электронов при электрон-электронных и электрон-атомных столкновениях.

шением  $z$  амплитуда второй производной падает. Вблизи высоковольтной границы замагниченной ИПП на зависимости  $\lg I_p''$  от  $U_p$  кроме основной группы электронов видна группа низкоэнергетических электронов. Определение температуры группы низкоэнергетических ("холодных") электронов из-за перекрытия энергетических спектров двух групп затруднительно. При дальнейшем уменьшении  $z$  доля "холодных" электронов увеличивается, а доля "горячих" соответственно падает. Наличие в энергетическом спектре

нескольких групп, а также нечувствительность применяемой методики к знаку второй производной делает невозможным нахождение  $\varphi_p$ , по данной методике в области малых  $z$ .

Следует отметить наличие в замагниченной ИПП электронов, энергия которых превышает потенциальный барьер, удерживающий электроны (рис. 1, a), т. е. эти беспрепятственно уходят на катоды УАД. На рис. 2, б приведена зависимость от  $z$  большинственного коэффициента  $\exp\{-e\varphi_{pl}/T_e\}$ , определяющего долю электронов, которые могут преодолеть прикатодный потенциальный барьер. Обращает внимание резкое увеличение  $\exp\{-e\varphi_{pl}/T_e\}$  от  $10^{-8}$  в ИПП до  $10^{-1}$  вблизи границы замагниченной ИПП — анодный слой. Именно в этой области наблюдается максимум электронного тока на катоды системы [5].

На рис. 2, б представлены результаты численной оценки, согласно классическим выражениям [16], отношения времен релаксации энергии электронов, набранной в электрическом поле, при электрон-атомных  $\tau_{ea}$  и электрон-электронных столкновениях  $\tau_{ee}$ , с учетом экспериментально измеренных значений  $T_e(z)$ :  $\tau_{ea}/\tau_{ee} \approx 2 \cdot 10^3/T_e^2$  [эВ] (рабочий газ — аргон,  $p = 1 \cdot 10^{-3}$  Тор, степень ионизации  $\sim 10^{-4}$ ). Эта оценка подтверждает гипотезу об определяющей роли электрон-электронных соударений в формировании локально равновесной функции распределения электронов по энергиям в области квазинейтральной замагниченной ИПП.

Таким образом, полученные экспериментальные данные и проведенные численные оценки непосредственно доказывают, что кинетические процессы формирования квазиравновесной функции распределения в газовых разрядах низкого давления в скрещенных  $EH$  полях способны приводить к формированию интенсивного потока электронов на катоды.

Теоретическая задача о структуре разряда низкого давления в  $EH$  полях с учетом эффективного стока электронов на катоды из высокоэнергетичного хвоста функции распределения исследована недостаточно. Модель слоя [17], основанная на большинственном распределении электронов во всем слое дает монотонный рост электронного тока на катод по мере приближения к аноду, что противоречит экспериментальным данным, согласно которым максимум тока электронов на катод находится в начале слоя. Общая картина пространственной эволюции функции распределения, приведенная в настоящей работе, свидетельствует о том, что аппроксимация ее большинственным распределением применима только в замагниченной ИПП (предслое), высоковольтная граница которой соответствует области с максимальным потоком электронов на катоды, а в анодном

слое она существенно отличается от максвелловской. Для корректного решения задачи о слое необходимо решать кинетическое уравнение с учетом интенсивной (лавинной) ионизации. Экспериментальные исследования будут продолжены в направлении изучения влияния внешних параметров ( $H$ ,  $U_i$ ,  $p$ ) на вид функции распределения электронов по энергиям в замагниченной ионно-пучковой плазме.

### Список литературы

- [1] Зыков А.В., Марущенко Н.Б., Фареник В.И. // Письма в ЖТФ. 1989. Т. 15. В. 9. С. 9–13.
- [2] Дудин С.В., Зыков А.В., Фареник В.И. // Письма в ЖТФ. 1991. Т. 17. В. 6. С. 22–26.
- [3] Dudin S.V., Zykow A.V., Farenik V.I. // Rev. sci. Instrum. 1994. V. 65. N 4. Part II. P. 1451–1453.
- [4] Дудин С.В., Зыков А.В. // Письма в ЖТФ. 1994. Т. 20. В. 11. С. 58–63.
- [5] Дудин С.В., Зыков А.В., Ушаков А.В. // Письма в ЖТФ. 1994. Т. 20. В. 11. С. 25–30.
- [6] Керевалишвили Н.А., Жаринов А.В. // ЖТФ. 1965. Т. 35. В. 12. С. 1294–2201.
- [7] Поляк И.М. // Радиотехника и радиоэлектроника. 1961. № 3. С. 395.
- [8] Крейндель Ю.Е., Гутова Л.А., Шалай В.И. // ЖТФ. 1968. Т. 38. № 12. С. 2042–2045.
- [9] Бархударов Э.М., Керевалишвили Н.А., Кортхонджсия В.П. // ЖТФ. 1972. Т. 42. В. 2. С. 1904–1908.
- [10] Смирницкая Г.В. // ЖТФ. 1976. Т. 46. В. 10. С. 2075–2080.
- [11] Керевалишвили Н.А. // Физика плазмы. 1989. Т. 15. № 2. С. 174–181.
- [12] Каган Ю.М., Перель В.И. // УФН. 1963. Т. 81. С. 409.
- [13] Десятов А.М., Мальков М.А. // Изв. вузов. Сер. физика. 1984. Т. 27. № 3. С. 29–39.
- [14] Алексеев В.В., Котельников В.А. Зондовый метод диагностики плазмы. М.: Энергоатомиздат. 1988. 238 с.
- [15] Дудин С.В. // ПТЭ. 1994. № 4. С. 78–82.
- [16] Грановский В.Л. Электрический ток в газе. М.: Наука, 1971.
- [17] Калашников В.К., Саночкин Ю.В. // ЖТФ. 1974. Т. 44. В. 12. С. 2504–2518.

Харьковский государственный  
университет

Поступило в Редакцию  
18 сентября 1996 г.